

**PENGARUH BASE ISOLATION SYSTEM TERHADAP RESPON
STRUKTUR GEDUNG SAHID JOGJA LIFE STYLE CITY**

Laporan Tugas Akhir
sebagai salah satu syarat untuk memperoleh gelar Sarjana dari
Universitas Atma Jaya Yogyakarta

Oleh :
FRANSISKUS XAVERIUS AAN
NPM. : 10 02 13624



**PROGRAM STUDI TEKNIK SIPIL
FAKULTAS TEKNIK
UNIVERSITAS ATMA JAYA YOGYAKARTA
YOGYAKARTA
Agustus 2014**

PERNYATAAN

Saya yang bertanda tangan di bawah ini menyatakan dengan sesungguhnya bahwa
Tugas Akhir dengan judul :

PENGARUH BASE ISOLATION SYSTEM TERHADAP RESPONS STRUKTUR GEDUNG SAHID JOGJA LIFE STYLE CITY

benar-benar merupakan hasil karya saya sendiri dan bukan merupakan hasil plagiasi
dari karya orang lain. Ide, data hasil penelitian maupun kutipan, baik langsung
maupun tidak langsung yang bersumber dari tulisan atau ide orang lain dinyatakan
secara tertulis dalam Tugas Akhir ini. Apabila terbukti dikemudian hari bahwa
Tugas Akhir ini merupakan hasil plagiasi, maka ijazah yang saya peroleh
dinyatakan batal dan akan saya kembalikan kepada Rektor Universitas Atma Jaya
Yogyakarta.

Yogyakarta, 18 Agustus 2014

Yang membuat pernyataan,

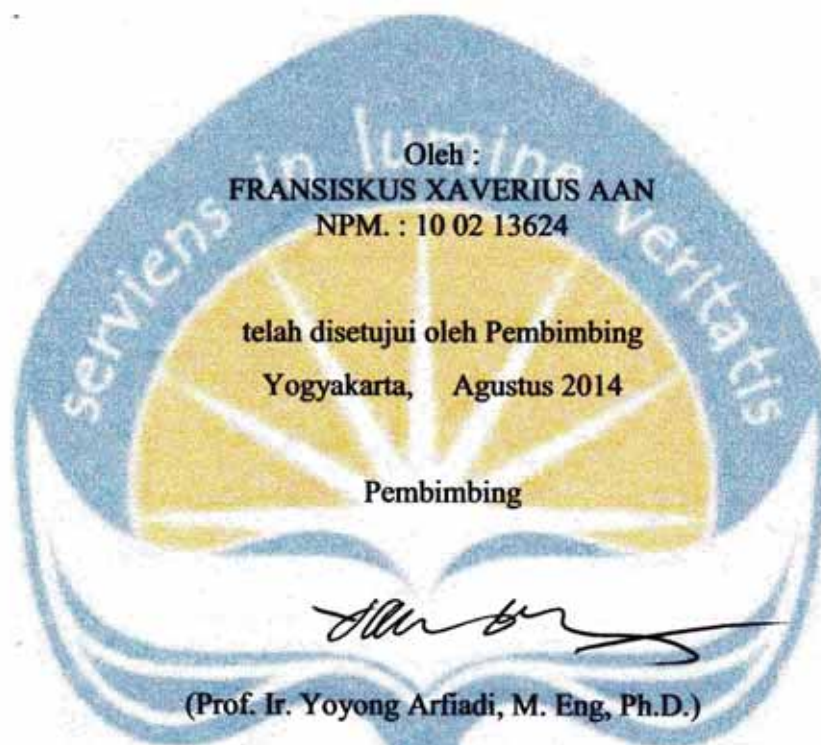


(Fransiskus Xaverius Aan)

PENGESAHAN

Laporan Tugas Akhir

PENGARUH BASE ISOLATION SYSTEM TERHADAP RESPONS STRUKTUR GEDUNG SAHID JOGJA LIFE STYLE CITY



Disahkan oleh :

Program Studi Teknik Sipil

Ketua

(Januar Sudjati, S.T., M.T.)

PENGESAHAN PENGUJI

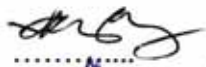
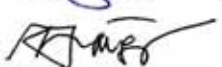
Laporan Tugas Akhir

PENGARUH BASE ISOLATION SYSTEM TERHADAP RESPON STRUKTUR GEDUNG SAHID JOGJA LIFE STYLE CITY



Oleh :
FRANSISKUS XAVERIUS AAN
NPM. : 10 02 13624

Telah diuji dan disetujui oleh

| | Nama | Tanda tangan | Tanggal |
|------------|--|---|------------|
| Ketua | : Prof. Ir. Yoyong Arfiadi, M. Eng, Ph.D |  | 18/8/14 |
| Sekretaris | : Ir. Wiryawan Sardjono P., M.T. |  | 18/08/2014 |
| Anggota | : Ir. Pranawa Widagdo, M.T. |  | 18/08/2014 |

Pencapain awal ini aku persembahkan sepenuhnya untuk sang maha pengasih YESUS KRISTUS.....



*“Bersukacitalah dalam PENGHARAPAN,
sabarlah dalam KESESAKAN,
dan bertekunlah dalam DOA”*

Roma 12:12

KATA HANTAR

Puji dan Syukur penulis panjatkan kepada Tuhan Yesus Kristus atas rahmat dan anugerahNya, sehingga penulis dapat menyelesaikan Tugas Akhir dengan judul “Pengaruh *Base Isolation System* Terhadap Respons Struktur Gedung Sahid Jogja *Life Style City.*”

Tugas Akhir ini disusun untuk memenuhi persyaratan dalam menyelesaikan jenjang pendidikan tinggi Program Strata 1 (S 1) di Program Studi Teknik Sipil, Fakultas Teknik, Universitas Atma Jaya Yogyakarta.

Penulisan tugas akhir ini dapat diselesaikan karena adanya campur tangan dari pihak-pihak yang kompeten dalam bidangnya, maka dalam kesempatan ini penulis ingin menghaturkan ucapan terimakasih kepada:

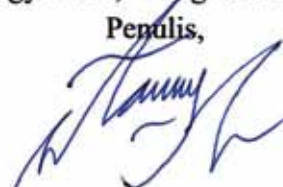
1. Bapak Prof. Ir. Yoyong Arfiadi, M.Eng, Ph.D., selaku Dekan Fakultas Teknik Universitas Atma Jaya Yogyakarta.
2. Bapak J. Januar Sudjati, S.T, M.T., selaku Ketua Program Studi Teknik Sipil Universitas Atma Jaya Yogyakarta.
3. Bapak Prof. Ir. Yoyong Arfiadi, M.Eng, Ph.D., selaku dosen pembimbing yang telah dengan sabar memberikan arahan kepada penulis dalam menyelesaikan tugas akhir ini.
4. Dinar Gumiwang Jati, S.T, M. Eng., selaku Ketua Program Kekhususan Struktur yang telah mengajarkan nilai-nilai kedisiplinan.
5. Keluarga tercinta, kedua orang tuaku, Intan, dan Puja yang selalu memberi dorongan, doa, kasih, perhatian, dan semangat kepada penulis sehingga penulis dapat menyelesaikan tugas akhir ini.

6. Bapak V. Sukaryantara selaku staff Laboratorium Struktur dan Bahan Bangunan yang telah banyak memberi nasehat dan wawasan bagi penulis.
7. Sahabat-sahabat seperjuangan , Frima, Vita, Chandra, Randy, Deddymus, Ray, Aris, Dedi yang selalu memberikan doa dan motivasi.
8. Teman – teman Asisten LSBB; Bobby, Petrus, Henry, Hanavi, Gaby, Sigit, dan Paul yang giat dalam pengabdian dan berbagi ilmu.
9. Teman-teman KKN 64 Sanglor II, Bang Sigap, Kak Ardy, Puguh, Putri, Yohana, Siska, Angel, dan Freda yang telah banyak memberi pelajaran hidup.
10. Semua pihak yang telah membantu baik secara langsung maupun tidak langsung dalam menyelesaikan studi di Program Studi Teknik Sipil, Fakultas Teknik, Universitas Atma Jaya Yogyakarta.

Penulis menyadari bahwa masih banyak kekurangan dalam penulisan tugas akhir ini, oleh karena itu, penulis mengharapkan kritik dan saran yang bersifat membangun.

Yogyakarta, 18 Agustus 2014

Penulis,



Fransiskus Xaverius Aan

NPM : 10 02 13624

DAFTAR ISI

| | |
|---|-------|
| HALAMAN JUDUL | i |
| HALAMAN PERNYATAAN | ii |
| HALAMAN PENGESAHAN | iii |
| HALAMAN PENGESAHAN PENGUJI | iv |
| HALAMAN PERSEMBAHAN | v |
| KATA HANTAR | vi |
| DAFTAR ISI | viii |
| DAFTAR TABEL | xi |
| DAFTAR GAMBAR | xii |
| DAFTAR NOTASI | xiv |
| DAFTAR LAMPIRAN | xviii |
| INTISARI | xix |
| BAB I PENDAHULUAN | 1 |
| 1.1 Latar Belakang | 2 |
| 1.2 Perumusan Masalah | 2 |
| 1.3 Batasan Masalah | 2 |
| 1.4 Keaslian Tugas Akhir | 3 |
| 1.5 Manfaat Tugas Akhir | 4 |
| 1.6 Tujuan Tugas Akhir | 4 |
| BAB II TINJAUAN PUSTAKA | 5 |
| 2.1 Pemaparan <i>Base Isolation</i> | 5 |
| 2.2 Penulisan Terkait <i>Base Isolation</i> | 5 |
| 2.3 <i>High Damping Rubber Bearing</i> | 6 |
| BAB III LANDASAN TEORI | 8 |
| 3.1 Teori Perhitungan Isolator..... | 8 |
| 3.2 Teori Perhitungan Struktur Beton untuk Bangunan Gedung Menurut SNI 03-2847-2013..... | 10 |
| 3.2.1 Perhitungan Pelat Lantai..... | 10 |
| 3.2.2 Perencanaan Balok | 12 |
| 3.2.3 Perencanaan Kolom | 14 |
| 3.3 Teori Perencanaan Gempa Menurut SNI 03-1726-2012..... | 15 |
| 3.3.1 Gempa Rencana | 15 |
| 3.3.2 Klasifikasi Situs | 15 |
| 3.3.3 Spektrum Respons Desain | 16 |
| 3.3.4 Parameter Percepatan Terpetakan | 18 |
| 3.3.5 Parameter Spektral Desain | 18 |
| 3.3.6 Struktur Penahan Gaya Seismik | 20 |
| 3.3.7 Kombinasi Beban untuk Metode Ultimit | 20 |
| 3.3.8 Distribusi Vertikal Gaya Gempa..... | 21 |
| 3.3.9 Distribusi Horisontal Gaya Gempa | 23 |
| 3.3.10 Simpangan Antar Lantai dan P-Delta | 23 |
| 3.4 Teori <i>Base Isolation</i> Menurut SNI 03-1726-2012..... | 24 |
| 3.4.1 Perpindahan Rencana | 25 |

| | |
|--|-----------|
| 3.4.2 Periode Efektif Pada Saat Perpindahan Rencana | 26 |
| 3.4.3 Perpindahan Maksimum | 26 |
| 3.4.4 Periode Efektif Pada Saat Perpindahan Maksimum | 27 |
| 3.4.5 Perpindahan Total | 27 |
| 3.4.6 Sistem Isolasi dan Elemen-Elemen Struktural di Bawah Sistem Isolasi | 28 |
| 3.4.7 Elemen Struktural di Atas Sistem Isolasi | 29 |
| 3.4.8 Batas V_s | 29 |
| 3.4.9 Distribusi Vertikal Gaya | 30 |
| BAB IV ESTIMASI DIMENSI ELEMEN STRUKTUR | 31 |
| 4.1 Estimasi Dimensi | 31 |
| 4.2 Estimasi Dimensi Balok | 31 |
| 4.3 Perencanaan Pelat | 35 |
| 4.4 Estimasi Dimensi Kolom | 40.. |
| 4.5 Estimasi Dimensi Tangga | 49 |
| 4.5.1 Denah Ruang Tangga Basemen 1 dan Lantai Dasar | 49 |
| 4.5.2 Denah Ruang Tangga lantai 1, 2 dan 3 | 55 |
| BAB V PERHITUNGAN DAN ANALISIS | 62 |
| 5.1 Perhitungan Kuda-Kuda..... | 62 |
| 5.1.1 Perhitungan Kuda-Kuda <i>Gable</i> (K1) | 62 |
| 5.1.2 Perhitungan Kuda-Kuda <i>Gable</i> (K2) | 76 |
| 5.1.3 Perhitungan Kuda-Kuda <i>Gable</i> (K3) | 90 |
| 5.1.4 Perhitungan Kuda-Kuda <i>Truss</i> (K4) | 104 |
| 5.1.5 Perhitungan Kuda-Kuda <i>Truss</i> (K5) | 120 |
| 5.2 Perhitungan Gaya Geser Gempa (Struktur <i>Fixed Base</i>) | 138 |
| 5.2.1 Perhitungan Periode Fundamental (Struktur <i>Fixed Base</i>) | 138 |
| 5.2.2 Faktor Respon Gempa (Struktur <i>Fixed Base</i>) | 140 |
| 5.3 Perhitungan Gaya Geser Gempa (Struktur dengan <i>Base Isolation</i>).. | 141 |
| 5.3.1 Periode Efektif Pada Saat Perpindahan Rencana dan Perpindahan Maksimum (<i>Base Isolation</i>) | 142 |
| 5.3.2 Kekakuan Efektif Sistem Isolasi | 143 |
| 5.3.3 Perpindahan Rencana dan Perpindahan Maksimum | 143 |
| 5.4 Pengaplikasian <i>Base Isolation</i> | 144 |
| 5.4.1 Desain <i>Base Isolation</i> | 144 |
| 5.4.2 <i>Bearing Stiffness</i> | 145 |
| 5.4.3 Estimasi Awal Desain Perpindahan | 145 |
| 5.4.4 <i>Actual Bearing Stiffness</i> | 146 |
| 5.4.5 <i>Composite Stiffness</i> | 146 |
| 5.4.6 <i>Composite Damping</i> | 147 |
| 5.4.7 Torsi yang Diiijinkan | 147 |
| 5.4.8 Gaya Geser Elastis Dari Peraturan | 149 |
| 5.4.9 <i>Bearing detail</i> | 149 |
| 5.4.10 Beban Tekuk:Faktor Aman | 152 |
| 5.4.11 Perhitungan MCE Perpindahan D_M | 154 |
| 5.4.12 <i>Rollout Displacement</i> | 156 |
| 5.4.10 Pemodelan Isolator | 157 |

| | | |
|--|--|-----|
| 5.5 | Perhitungan Balok | 161 |
| 5.5.1 | Perhitungan Tulangan Balok B 147 | 162 |
| 5.5.2 | Perhitungan Tulangan Geser Balok B 147 | 168 |
| 5.5.3 | Perhitungan Tulangan Balok B 316 | 170 |
| 5.5.4 | Perhitungan Tulangan Geser Balok B 316 | 178 |
| 5.6 | Perhitungan Kolom | 179 |
| 5.6.1 | Perhitungan Tulangan Kolom | 179 |
| 5.6.2 | Perhitungan Tulangan Geser Balok B 147 | 182 |
| 5.7 | Analisis Struktur <i>Base Isolation</i> | 184 |
| 5.7.1 | Gaya Geser Gempa dan Beban Lateral Tiap Lantai | 185 |
| 5.7.2 | Simpangan Antar Lantai | 188 |
| 5.7.3 | Perpindahan (<i>Displacement</i>) | 191 |
| BAB VI KESIMPULAN DAN SARAN | | 193 |
| 6.1 | Kesimpulan | 193 |
| 6.2 | Saran | 194 |
| DAFTAR PUSTAKA | | 195 |
| LAMPIRAN | | 197 |

DAFTAR TABEL

| | | |
|------------|--|-----|
| Tabel 3.1 | Faktor Keutamaan Gempa..... | 15 |
| Tabel 3.2 | Klasifikasi Situs | 15 |
| Tabel 3.3 | Koefisien Situs, F_a | 18 |
| Tabel 3.4 | Koefisien Situs, F_v | 19 |
| Tabel 3.5 | Kategori Desain Seismik Berdasarkan Parameter Respons Percepatan pada Periode Pendek..... | 19 |
| Tabel 3.6 | Kategori Desain Seismik Berdasarkan Parameter Respons Percepatan pada Periode 1 Detik..... | 15 |
| Tabel 3.7 | Koefisien redaman, β_D atau β_M | 25 |
| Tabel 4.1 | Hasil Estimasi Dimensi Kolom | 25 |
| Tabel 4.2 | Hasil Momen dan Gaya Geser Tangga Basemen 1 dan Lantai Dasar | 52 |
| Tabel 4.3 | Hasil Momen dan Gaya Geser Tangga Lantai 1, 2, dan 3 | 58 |
| Tabel 5.1 | Rencana Gaya – Gaya Batang Pada Kuda – Kuda (K1)..... | 72 |
| Tabel 5.2 | Rencana Gaya – Gaya Batang Pada Kuda – Kuda (K2)..... | 86 |
| Tabel 5.3 | Rencana Gaya – Gaya Batang Pada Kuda – Kuda (K3)..... | 100 |
| Tabel 5.4 | Rencana Gaya – Gaya Batang Pada Kuda – Kuda (K4)..... | 115 |
| Tabel 5.5 | Rencana Gaya – Gaya Batang Pada Kuda – Kuda (K5)..... | 131 |
| Tabel 5.6 | <i>Characteristics (Physical Dimensions)</i> | 158 |
| Tabel 5.7 | <i>Compression Properties</i> | 158 |
| Tabel 5.8 | <i>Shear Properties</i> | 159 |
| Tabel 5.9 | Perhitungan Gaya Gempa Struktur <i>fixed base</i> | 186 |
| Tabel 5.10 | Perhitungan Gaya Gempa Struktur <i>dengan Base Isolation</i> | 187 |
| Tabel 5.11 | Defleksi Pusat Massa Arah X Struktur <i>Fixed Base</i> | 188 |
| Tabel 5.12 | Defleksi Pusat Massa Arah Y Struktur <i>Fixed Base</i> | 188 |
| Tabel 5.13 | Perbandingan <i>displacement</i> struktur <i>fixed base</i> dan struktur dengan <i>base isolation</i> (meter)..... | 188 |

DAFTAR GAMBAR

| | | |
|-------------|--|-----|
| Gambar 2.1 | <i>High Dumping Rubber Bearing</i> | 7 |
| Gambar 3.1 | Spektrum Respon Percepatan | 17 |
| Gambar 3.2 | Struktur Konvensional dan Struktur dengan <i>Base Isolation</i> | 24 |
| Gambar 4.1 | Rencana Balok dari Bentang Terpanjang | 31 |
| Gambar 4.2 | Denah Pelat Lantai Gedung | 35 |
| Gambar 4.3 | Penampang Balok 1 dan 3 | 37 |
| Gambar 4.4 | Penampang Balok 2 dan 4 | 38 |
| Gambar 4.5 | <i>Tributary Area Kolom</i> | 41 |
| Gambar 4.6 | Denah Ruang Tangga Basemen 1 dan Lantai Dasar | 50 |
| Gambar 4.7 | Penampang Tangga Basemen 1 dan Lantai Dasar | 50 |
| Gambar 4.8 | Pembebanan Tangga Basemen 1 dan Lantai Dasar | 51 |
| Gambar 4.9 | Denah Ruang Tangga Lantai 1, 2, dan 3 | 56 |
| Gambar 4.10 | Penampang Tangga Lantai 1, 2, dan 3..... | 56 |
| Gambar 4.11 | Pembebanan Tangga Lantai 1, 2, dan 3..... | 58 |
| Gambar 5.1 | Momen Beban Terpusat Gording K1 | 63 |
| Gambar 5.2 | Momen Beban Merata Gording K1 | 64 |
| Gambar 5.3 | Penampang Melintang Gording K1..... | 64 |
| Gambar 5.4 | Beban Gording K1 arah Sumbu 2..... | 65 |
| Gambar 5.5 | Beban Gording K1 arah Sumbu 3 | 65 |
| Gambar 5.6 | Rencana Beban Kuda-Kuda <i>Gable</i> (K1) | 68 |
| Gambar 5.7 | Momen Beban Terpusat Gording K2 | 77 |
| Gambar 5.8 | Momen Beban Merata Gording K2 | 78 |
| Gambar 5.9 | Penampang Melintang Gording K2..... | 79 |
| Gambar 5.10 | Beban Gording K2 arah Sumbu 2..... | 79 |
| Gambar 5.11 | Beban Gording K2 arah Sumbu 3 | 79 |
| Gambar 5.12 | Rencana Beban Kuda-Kuda <i>Gable</i> (K2) | 83 |
| Gambar 5.13 | Momen Beban Terpusat Gording K3 | 91 |
| Gambar 5.14 | Momen Beban Merata Gording K3 | 92 |
| Gambar 5.15 | Penampang Melintang Gording K3..... | 93 |
| Gambar 5.16 | Beban Gording K3 arah Sumbu 2..... | 93 |
| Gambar 5.17 | Beban Gording K3 arah Sumbu 3 | 93 |
| Gambar 5.18 | Rencana Beban Kuda-Kuda <i>Gable</i> (K3) | 97 |
| Gambar 5.19 | Momen Beban Terpusat Gording K4 | 105 |
| Gambar 5.20 | Momen Beban Merata Gording K4 | 106 |
| Gambar 5.21 | Penampang Melintang Gording K4..... | 107 |
| Gambar 5.22 | Beban Gording K4 arah Sumbu 2..... | 107 |
| Gambar 5.23 | Beban Gording K4 arah Sumbu 3 | 107 |
| Gambar 5.24 | Rencana Beban Kuda-Kuda <i>Truss</i> (K4) | 111 |
| Gambar 5.25 | Momen Beban Terpusat Gording K5 | 121 |
| Gambar 5.26 | Momen Beban Merata Gording K5 | 122 |
| Gambar 5.27 | Penampang Melintang Gording K5..... | 122 |
| Gambar 5.28 | Beban Gording K5 arah Sumbu 2..... | 122 |
| Gambar 5.29 | Beban Gording K5 arah Sumbu 3 | 123 |
| Gambar 5.30 | Rencana Beban Kuda-Kuda <i>Truss</i> (K5) | 127 |

| | | |
|-------------|--|-----|
| Gambar 5.31 | Detail Desain Isolator | 152 |
| Gambar 5.32 | <i>Overturning Analysis</i> | 157 |
| Gambar 5.33 | <i>Link Property</i> Data HDRB 1 | 159 |
| Gambar 5.34 | <i>Link Direction</i> arah U1 (Vertikal) | 160 |
| Gambar 5.35 | <i>Link Direction Properties</i> arah U2 dan U3 (Horisontal) untuk HDRB1 | 160 |
| Gambar 5.36 | Denah Rencana Perhitungan Balok Pada <i>Story 2</i> | 161 |
| Gambar 5.37 | Detail Tulangan Balok Tumpuan B147 | 164 |
| Gambar 5.38 | Detail Tulangan Balok Lapangan B147 | 167 |
| Gambar 5.39 | Tulangan Transversal Balok B147 | 170 |
| Gambar 5.40 | Detail Tulangan Balok Tumpuan B 316 | 173 |
| Gambar 5.41 | Detail Tulangan Balok Lapangan B316 | 176 |
| Gambar 5.42 | Tulangan Transversal Balok B 316 | 179 |
| Gambar 5.43 | Rencana Perhitungan Kolom C165 | 179 |
| Gambar 5.44 | Detail Tulangan Kolom | 182 |
| Gambar 5.45 | Tulangan Transversal Kolom | 184 |
| Gambar 5.46 | Pemodelan 3D Struktur dengan <i>Base Isolation</i> | 185 |
| Gambar 5.47 | Grafik Perbandingan Gaya Geser Struktur <i>Fixed Base</i> dan Struktur <i>Base Isolation</i> | 187 |
| Gambar 5.48 | Grafik Perbandingan Pusat Massa Arah X Struktur <i>Fixed Base</i> dan Struktur <i>Base Isolation</i> | 190 |
| Gambar 5.49 | Grafik Perbandingan Pusat Massa Arah Y Struktur <i>Fixed Base</i> dan Struktur <i>Base Isolation</i> | 191 |
| Gambar 5.50 | Grafik Perbandingan <i>Displacement</i> Struktur <i>Fixed Base</i> dan Struktur <i>Base Isolation</i> Arah X..... | 192 |
| Gambar 5.51 | Grafik Perbandingan <i>Displacement</i> Struktur <i>Fixed Base</i> dan Struktur <i>Base Isolation</i> Arah Y..... | 192 |

DAFTAR NOTASI

| | |
|------------|--|
| a | = tinggi blok tegangan persegi ekivalen |
| A_g | = luas bruto penampang beton, mm ² |
| A_s | = luas tulangan tarik longitudinal non-prategang, dalam mm ² |
| A'_s | = luas tulangan tarik tekan, dalam mm ² |
| B_D | = koefisien numerik seperti yang diatur dalam tabel 3.7 untuk redaman efektif yang sama dengan β_D |
| B_M | = koefisien numerik seperti yang diatur dalam tabel 3.7 untuk redaman efektif yang sama dengan β_M |
| b_w | = lebar badan (<i>web</i>), tebal dinding, atau diameter penampang lingkaran, dalam mm |
| c | = jarak dari serat terjauh ke sumbu netral, dalam mm |
| C_d | = faktor amplifikasi defleksi |
| C_s | = koefisien respons gempa |
| C_{vx} | = faktor distribusi vertikal |
| d | = jarak dari serat tekan terjauh ke pusat tulangan tarik longitudinal, dalam mm |
| D | = <i>displacement</i> |
| D_D | = perpindahan rencana, dinyatakan dalam milimeter (mm), di titik pusat kekakuan sistem isolasi diarah yang ditinjau seperti ditentukan dalam persamaan 3-56 |
| DL | = beban mati |
| D_M | = perpindahan maksimum, dinyatakan dalam milimeter (mm), di titik pusat kekakuan sistem isolasi diarah yang ditinjau seperti ditentukan dalam persamaan 3-58 |
| D_{TD} | = total perpindahan rencana, seperti ditentukan dalam persamaan 3-60 |
| D_{TM} | = total perpindahan maksimum, seperti ditentukan dalam persamaan 3-61 |
| E | = pengaruh beban gempa |
| E_c | = modulus kompresi |
| E_h | = pengaruh gaya gempa horisontal |
| E_v | = pengaruh gaya gempa vertikal |
| e | = eksentrisitas sesungguhnya (mm) |
| $f'c$ | = kekuatan tekan beton yang diisyaratkan, dalam MPa |
| F_a | = koefisien situs untuk periode pendek (pada periode 0,2 detik) |
| F_i, F_x | = bagian dari gaya geser dasr, V , pada tingkat i atau x |
| F_v | = koefisien situs untuk periode panjang (pada periode 1 detik) |
| f_y | = kekakuan leleh tulangan yang diisyaratkan, dalam MPa |
| g | = percepatan gravitasi |
| G | = modulus geser <i>elastomeric</i> |
| h | = tinggi atau tebal keseluruhan komponen struktur, dalam mm |
| h | = tinggi rata-rata struktur diukur dari dasar hingga level atap |
| HDRB1 | = <i>high dumping rubber bearing 1</i> |
| HDRB2 | = <i>high dumping rubber bearing 2</i> |
| HDRB3 | = <i>high dumping rubber bearing 3</i> |

| | |
|---------------|--|
| $HDRB4$ | = <i>high dumping rubber bearing 4</i> |
| $HDRB5$ | = <i>high dumping rubber bearing 5</i> |
| h_i, h_x | = tinggi dari dasar sampai tingkat i atau x |
| I | = inersia isolator |
| I_e | = faktor keutamaan |
| K | = kekakuan |
| $k_{D_{max}}$ | = kekakuan efektif maksimum, dinyatakan dalam kilonewton per milimeter (kN/mm), dari sistem isolasi pada saat perpindahan rencana dalam arah horisontal |
| $k_{D_{min}}$ | = kekakuan efektif minimum, dinyatakan dalam kilonewton per milimeter (kN/mm), dari sistem isolasi pada saat perpindahan rencana dalam arah horisontal |
| $k_{M_{max}}$ | = kekakuan efektif maksimum, dinyatakan dalam kilonewton per milimeter (kN/mm), dari sistem isolasi pada saat perpindahan maksimum dalam arah horisontal |
| $k_{D_{min}}$ | = kekakuan efektif minimum, dinyatakan dalam kilonewton per milimeter (kN/mm), dari sistem isolasi pada saat perpindahan maksimum dalam arah horisontal |
| k_{eff} | = kekakuan efektif satu unit isolator |
| K_H | = kekakuan horisontal |
| L_a | = beban terpusat |
| LL | = beban hidup |
| l_n | = panjang bentang bersih yang diukur muka ke muka tumpuan, mm |
| l_u | = panjang tak tertumpu komponen struktur tekan, dalam mm |
| M_1 | = momen ujung terfaktor yang lebih kecil pada komponen struktur tekan, diambil sebagai positif jika komponen struktur dibengkokkan dalam kurvatur tunggal dan negatif jika dibengkokkan dalam kurvatur ganda |
| M_2 | = momen ujung terfaktor yang lebih besar pada komponen struktur tekan, jika pembebanan transversal terjadi diantara tumpuan, M_2 diambil sebagai momen terbesar yang terjadi dalam komponen struktur. Nilai M_2 selalu positif, N.mm |
| M_n | = kekuatan lentur nominal pada penampang, dalam N.mm |
| M_o | = momen statis terfaktor total, N.mm |
| M_u | = momen terfaktor pada penampang, N.mm |
| N_u | = gaya aksial terfaktor tegak lurus terhadap penampang yang terjadi serentak dengan V_u dan T_u ; diambil sebagai positif untuk tekan dan negatif untuk tarik, dalam N |
| P_{erit} | = beban tekuk |
| Q_E | = pengaruh gaya gempa horisontal |
| Q_{EX} | = pengaruh gaya horisontal arah x |
| Q_{EY} | = pengaruh gaya horisontal arah y |
| k_{eff} | = kekakuan efektif satu unit isolator |
| R | = koefisien modifikasi respons |
| R_n | = faktor panjang efektif untuk komponen struktur tekan |

| | |
|---------------|---|
| S | = <i>shape factor</i> |
| SF | = faktor aman |
| S_S | = parameter percepatan respons spektral MCE, dari peta gempa pada periode pendek, redaman 5% |
| S_I | = parameter percepatan respons spektral MCE, dari peta gempa pada periode 1 detik, redaman 5% |
| S_{DS} | = parameter percepatan respons spektal pada periode pendek, redaman 5% |
| S_{D1} | = parameter percepatan respons spektral pada periode 1 detik, rdaman 5% |
| S_{MS} | = parameter percepatan respons spektral MCE pada periode pendek yang sudah disesuaikan terhadap pengaruh kuat situs |
| S_{M1} | = parameter percepatan respons spektral MCE pada periode 1 detik yang sudah disesuaikan terhadap pengaruh kuat situs |
| T | = periode fundamental bangunan |
| T_D | = periode efektif (detik), dari struktur dengan isolasi seismik pada saat perpindahan rencana, persamaan 3-57 |
| T_0 | = $0,2 \frac{S_{D1}}{S_{DS}}$ |
| T_M | = periode efektif (detik), dari struktur dengan isolasi seismik pada saat perpindahan maksimum, persamaan 3-59 |
| T_S | = $\frac{S_{D1}}{S_{DS}}$ |
| t_r | = total ketebalan <i>rubber</i> |
| V_b | = total gaya lateral seismik rencana elemen-elemen sistem isolasi, atau elemen-elemen di bawah sistem isolasi, persamaan 3-62 |
| V_c | = kekuatan geser nominal yang disediakan oleh beton |
| V_s | = total gaya lateral seismik rencana elemen-elemen di atas sistem isolasi, persamaan 3-63 |
| V_u | = gaya geser terfaktor pada penampang, dalam N |
| V_x | = gaya geser gempa ditingkat x |
| W | = berat seismik efektif bangunan |
| W_D | = energi yang dihamburkan persiklus |
| w_u | = beban terfaktor per satuan panjang balok atau pelat satu arah |
| δ_x | = defleksi pusat massa ditingkat x |
| δ_{xe} | = defleksi lokasi yang telah diisyaratkan |
| β | = <i>damping</i> |
| β_1 | = rasio kekakuan torsi penampang balok tepi terhadap kekakuan lentur pelat dengan lebar sama dengan panjang bentang balok, diukur dari pusat ke pusat tumpuan |
| β_1 | = faktor yang menghubungkan tinggi blok tegangan tekan persegi ekivalen dengan tinggi sumbu netral |
| β_D | = redaman efektif sistem isolasi pada saat perpindahan rencana |

- β_m = redaman efektif sistem isolasi pada saat perpindahan maksimum
 ε_t = regangan tarik netto dalam lapisan terjauh baja tariik longitudinal pada kuat nominal, tidak termasuk regangan akibat dari prategang efektif, rangkak, susut, dan suhu
 ρ = rasio A_s terhadap bd
 ρ_b = rasio A_s terhadap bd yang menghasilkan kondisi regangan seimbang
 ϕ = faktor reduksi kekuatan
 ω = frekuensi natural



DAFTAR LAMPIRAN

| | | |
|------------|---|-----|
| Lampiran 1 | <i>Summary ETABS Struktur dengan Base Isolation</i> | 197 |
| Lampiran 2 | Denah basemen 1 | 209 |
| Lampiran 3 | Denah Lantai Dasar | 210 |
| Lampiran 4 | Denah Lantai 1 | 211 |
| Lampiran 5 | Denah Lantai 2 | 212 |
| Lampiran 6 | Denah Lantai 3 | 213 |
| Lampiran 7 | Denah Lantai Atap | 214 |
| Lampiran 8 | Spesifikasi dan Dimensi Lift | 215 |
| Lampiran 9 | Spesifikasi <i>Escalator</i> | 217 |

INTISARI

PENGARUH BASE ISOLATION SYSTEM TERHADAP RESPONSTRUKTUR GEDUNG SAHID JOGJA LIFE STYLE CITY, Fransiskus Xaverius Aan, NPM 10 02 13624, tahun 2014, Bidang Peminatan Struktur, Program Studi Teknik Sipil, Fakultas Teknik, Universitas Atma Jaya Yogyakarta.

Sebagai kawasan yang sering dilanda gempa Indonesia seharusnya menerapkan teknologi kegempaan untuk mengurangi kerugian material maupun korban jiwa yang ditimbulkan dari efek gempa. Teknologi kegempaan berupa *passive control* dalam hal ini yakni *base isolation* sudah lama digunakan oleh negara maju seperti Jepang dan Selandia Baru. *Base Isolation* mengandaikan struktur dapat dipisahkan secara substansial dari potensi kerusakan yang ditimbulkan oleh gempa.

Analisis ini menggunakan *High Dumping Rubber Bearing* salah satu dari jenis *base isolation* yang di tempatkan pada tiap dasar kolom. Penamaan isolator ini dikelompokkan menjadi 5 berdasarkan kekakuan efektif yang tumpu oleh masing masing isolator yakni HDRB 1, HDRB 2, HDRB 3, HDRB 4, dan HDRB 5. Dimensi isolator terlebih dahulu dihitung untuk mendapatkan desain yang tepat, setelah itu isolator dari hasil perhitungan dicocokkan dengan yang biasa dijual dipasaran. Pada perencanaan ini digunakan dimensi isolator dengan diameter 900 mm dengan tinggi total 169 mm

Periode efektif yang dihasilkan dari struktur dengan *base isolation* lebih besar jika dibandingkan dengan struktur *fixed base*. Pada arah X struktur dengan *base isolation* periode waktu getar alami 3,25 detik sedangkan pada struktur *fixed base* 0,6 detik, untuk arah Y periode efektif struktur dengan *base isolation* 2,76 detik dan 0,57 untuk struktur *fixed base*. Simpangan antar lantai pada struktur atas bangunan dengan *base isolation* lebih kecil jika dibanding struktur *fixed base* namun pada dasar bangunan dengan *base isolation* lebih besar jika dibanding struktur *fixed base*. Pada struktur dengan base isolation terjadi penurunan gaya geser rata-rata sebesar 52,82%. Kenaikan *displacement* pada arah X struktur dengan base isolation rata-rat sebesar 88,59%, sedangkan pada arah Y terjadi kenaikan rata-rata sebesar 87,56%.

Kata Kunci: *passive control, base isolation, high dumping rubber bearing*